

Рис. 3. Зависимость максимального значения критического тока от плотности лазерного излучения.  
1 — керамика, 2 — кристалл.

нальной фаз. Таким образом, однозначно можно утверждать, что при воздействии лазерных импульсов ближнего ИК-диапазона происходит своего рода лазерный отжиг приповерхностного слоя образцов, приводящий к существенному возрастанию критических токов. Этот процесс характеризуется анизотропией и более резко выражен для керамических образцов. При подборе соответствующих параметров можно добиться повышения критического тока, протекающего через образец, и тем самым значительно улучшить технологические характеристики традиционных ВТСП.

#### Список литературы

- [1] Kim Y. H., Foster C. M., Heeger A. J., Cox S., Stucky G. // Phys. Rev. 1988. V. 38B. N 10. P. 6478—6482.
- [2] Taliani C., Zamboni R., Ruani G., Matacotta F. C. // Synth. Metals. 1989. V. 29. P. F585—F590.
- [3] Довгий Я. О., Китык И. В., Луцив Р. В. // Письма в ЖТФ. 1991. Т. 17. № 4. С. 17—19.
- [4] Довгий Я. О., Китык И. В., Луцив Р. В., Малинич С. З., Носан А. В., Ясницкий Р. И. // ФНТ. 1991. Т. 17. № 11. С. 82—84.
- [5] Harris E. A., Bishop J. E., Havill R. L., Ward P. J., // J. Phys. C: Sol. St. Phys. 1988. V. 21. № 2. P. L673—L675.
- [6] Довгий Я. О., Китык И. В., Карплюк Л. Т., Ткачук В. В., Луцив Р. В., Ясницкий Р. И. // ФТГ. 1990. Т. 32. № 10. С. 3099—3102.
- [7] Довгий Я. О., Карплюк Л. Т., Китык И. В., Носан А. В., Луцив Р. В., Котерлин М. Д. // ДАН УССР. Сер. А. 1990. № 4. С. 63—66.

Акционерное товарищество «Концерн—Электрон»  
научно-исследовательского института материалов  
Львов

Поступило в Редакцию  
10 января 1992 г.

УДК 536.421.1.4:548.51

© Физика твердого тела, том 34, № 11, 1992  
Solid State Physics, vol. 34, N 11, 1992

## ВЛИЯНИЕ ДИСПЕРСНОСТИ НА ТЕМПЕРАТУРУ ПЛАВЛЕНИЯ УЛЬТРАДИСПЕРСНЫХ ПОРОШКОВ ОЛОВА И РТУТИ

*E. И. Мальтина, М. И. Альмов, И. Д. Морохов*

Понижение температуры плавления сферических частиц с уменьшением их радиусов описывается в рамках термодинамического метода формулами Томсона

$$T = T_0 \left( 1 - \frac{2\sigma}{L} \frac{1}{R} \right) \quad (1)$$

и Клаузиуса—Клапейрона

$$T = T_0 \left( 1 - \frac{2}{L} \left( \sigma + \sigma_{*x} \left( 1 - \frac{\rho_t}{\rho_*} \right) \frac{1}{R} \right) \right), \quad (2)$$

где  $T_0$  — температура плавления массивного образца;  $T$  — температура плавления частицы радиуса  $R$ ;  $L$  — удельная теплота плавления,  $\rho_t$ ,  $\rho_*$  — плотности твердого и жидкого состояний;  $\sigma_{*x}$  — поверхностное натяжение жидкой фазы на границе с паром;  $\sigma$  — поверхностное натяжение на границе твердая фаза—жидкая фаза.

В работах [1, 2] проведены экспериментальные исследования плавления маленьких частиц олова (рис. 1) и ртути (рис. 2). В области ультрадисперсных размеров частиц ( $1-10$  нм) наблюдается большее понижение температуры плавления, чем следует из формул (1), (2). Для объяснения экспериментальных результатов в работах [3, 4] введено предположение о существовании слоя расплава толщины  $\delta$ , окружающего твердое ядро частицы. Тогда выражение для температуры плавления частиц имеет вид

$$T = T_0 \left( 1 - \frac{2}{L} \left( \frac{\sigma}{R - \delta} + \frac{\sigma_{*x}}{R} \left( 1 - \frac{\rho_t}{\rho_*} \right) \right) \right). \quad (3)$$

Численные значения параметров, входящих в формулу (3), представлены в таблице.

Поверхностная энергия границы раздела твердой и жидкой фаз определялась по тангенсу угла наклона экспериментальной кривой  $T = T(1/R)$  при  $R \gg \delta$  по формуле

$$\sigma = - \frac{L}{2T_0} \left( \frac{dT}{d(1/R)} \right) - \sigma_{*x} \left( 1 - \frac{\rho_t}{\rho_*} \right).$$

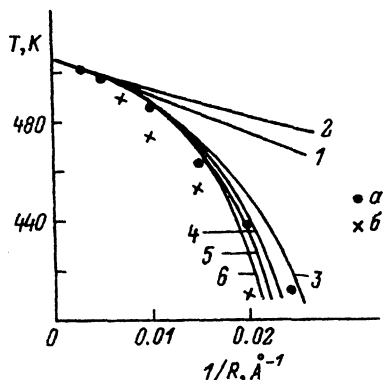


Рис. 1. Плавление маленьких частиц олова.

Экспериментальные точки:  $a$  — [1],  $b$  — [2]. Расчетные кривые: 1 — по формуле Томсона, 2 — по формуле Клаузиуса—Клапейрона, 3—6 — по формуле (3) при  $\delta = 26, 28, 30$ , соответственно.

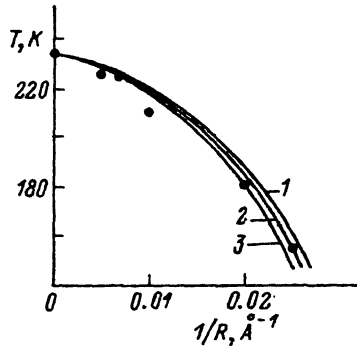


Рис. 2. Плавление частиц ртути.

Точки — эксперимент [1], 1—3 — расчетные кривые по формуле (3) при  $\delta = 19, 20, 21$  соответственно.

Значения параметров, используемые для расчетов  $T$  [5]

Параметры	Олово	Ртуть
$T_0$ , К	505	234
$L$ , эрг/см <sup>3</sup>	$42 \cdot 10^8$	$16 \cdot 10^8$
$\rho_T$ , г/см <sup>3</sup>	7.18	16.7
$\rho_{ж}$ , г/см <sup>3</sup>	6.98	13.7
$\rho_{жг}$ , г/см <sup>2</sup>	580	498

Для олова  $dT/d(R^{-1}) = -1100 \text{ \AA} \cdot \text{К}$  (рис. 1), а следовательно,  $\sigma = 62.5$  эрг/см<sup>2</sup>. Это значение совпадает с  $\sigma = 63.4$  эрг/см<sup>2</sup>, полученным в работе [2] по формуле классической теории гомогенной кристаллизации. Следует отметить, что в работе [1] при расчете  $\sigma$  и  $T$  допущены арифметические ошибки. Недопустимо также использовать при расчетах значения  $T$ ,  $T_0$  в градусах Цельсия.

Найденное значение  $\sigma$  и данные таблицы позволяют определить зависимости  $T = T(1/R)$  для различных  $\delta$  (рис. 1). Лучшее совпадение расчетной кривой с экспериментальными точками наблюдается при  $\delta = 28 \text{ \AA}$ .

Экспериментальные результаты исследования плавления частиц ртути представлены на рис. 2. Вычисленное значение поверхностной энергии границы раздела твердой—жидкой фаз  $\sigma = 61$  эрг/см<sup>2</sup> значительно отличается от  $\sigma = 25$  эрг/см<sup>2</sup>, полученного по формуле гомогенной кристаллизации.

Различие в величине  $\sigma$ , вероятно, связано с неточностью измерения скорости кристаллизации.

Расчетные кривые  $T = T(1/R)$  для различных  $\delta$  показаны на рис. 2. Значение  $\delta = 21 \text{ \AA}$  совпадает с оценкой, данной в работе [2].

## Список литературы

- [1] Wronski C. R. M. // Brit. J. Appl. Phys. 1967. V. 18. P. 1731—1737.
- [2] Жданов Г. С. // ФТТ. 1976. Т. 18. № 5. С. 1415—1417.
- [3] Reiss H., Wilson I. B. // J. Colloid Sci. N 3. P. 551—561.
- [4] Hanszen K. J. // J. Phys N 157. P. 523—553.
- [5] Смитз К. Дж. Металлы. Справочник: Пер. с англ. М., 1980. 447 с.

Институт metallurgии им. А. Л. Байкова  
РАН  
Москва

Поступило в Редакцию  
25 марта 1992 г.